

сообщения  
объединенного  
института  
ядерных  
исследований  
дубна

И20

9-88-286

Э.Л.Иванов, Э.А.Перельштейн

РАСЧЕТ ТРАНСПОРТИРОВКИ ПУЧКА  
В МАГНИТНОМ ПОЛЕ  
С КВАДРУПОЛЬНОЙ СИММЕТРИЕЙ  
МЕТОДОМ ПОГРУЖЕНИЯ  
В ПРОСТРАНСТВО ФАЗОВЫХ МОМЕНТОВ

1988

Уравнения движения заряженной частицы с зарядом  $z$  и импульсом  $\vec{p}$  в статическом магнитном поле  $\vec{B}$ , в декартовой системе координат имеют вид

$$\begin{aligned}\ddot{x} &= \frac{ze}{m} (\dot{y} B_z - \dot{z} B_y), \\ \ddot{y} &= \frac{ze}{m} (\dot{z} B_x - \dot{x} B_z), \\ \ddot{z} &= \frac{ze}{m} (\dot{x} B_y - \dot{y} B_x),\end{aligned}\quad (I)$$

где точкой обозначено дифференцирование по времени.

Переходя к независимой переменной  $S$  и учитывая, что

$$V^2 = \dot{x}^2 + \dot{y}^2 + \dot{z}^2 = \text{const}, \quad ; \quad \sqrt{1+x'^2+y'^2} = 1 + \frac{x'^2}{2} + \frac{y'^2}{2} + O(4),$$

$K = K(S) = \frac{ze}{p} \frac{d\theta_x}{dy} = \frac{ze}{p} \frac{d\theta_y}{dx}$ , а также квадрупольную симметрию магнитного поля, мы получаем следующие уравнения с учетом нелинейности третьего порядка по фазовым координатам  $x, x', y, y'$ :

$$\begin{aligned}x'' + Kx - \frac{K''}{12}x(x^2 + 3y^2) + \frac{K}{2}x(3x'^2 + y'^2) - K'xyy' - Kx'y'y' &= 0, \\ y'' - Ky + \frac{K''}{12}y(y^2 + 3x^2) - \frac{K}{2}y(3y'^2 + x'^2) + K'yxx' + Ky'x'x' &= 0.\end{aligned}\quad (2)$$

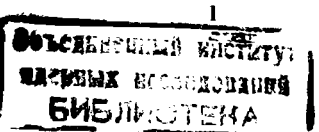
Решение системы нелинейных дифференциальных уравнений (2) ищем аналитически методом погружения в пространство фазовых моментов /1,2/.

Определяем вектор  $\vec{U} = [x, x', y, y']$  в фазовом пространстве  $\Phi(x, x', y, y')$ , где  $x, x'$  и  $y, y'$  – фазовые координаты частицы.

Фазовым моментом  $i_j + i_k$  порядка назовем величину  $\vec{U}_j^{i_j} \vec{U}_k^{i_k}$ ,

где  $i_j, i_k = 0, 1, \dots, j, k = 1, 2, \dots, N$ .

Далее введем следующие векторы в пространстве фазовых моментов первого и третьего порядка:



$$\begin{aligned}\vec{Z}_1 &= \begin{vmatrix} x \\ x' \end{vmatrix}, & \vec{Z}_2 &= \begin{vmatrix} x.x.x \\ x.x'.x' \end{vmatrix}, & \vec{Z}_3 &= \begin{vmatrix} x.y.y \\ x.y'.y' \\ x'.y.y \\ x'.y.y' \\ x'.y'.y' \end{vmatrix}, & \vec{V}_3 &= \begin{vmatrix} y.x.x \\ y.x'.x' \\ y'.x.x \\ y'.x.x' \\ y'.x'.x' \end{vmatrix}, \\ \vec{V}_1 &= \begin{vmatrix} y \\ y' \end{vmatrix}, & \vec{V}_2 &= \begin{vmatrix} y.y.y \\ y.y'.y' \\ y.y'.y' \\ y'.y'.y' \end{vmatrix}, & \vec{Z} &= \begin{vmatrix} \vec{Z}_1 \\ \vec{Z}_2 \\ \vec{Z}_3 \end{vmatrix}, & \vec{V} &= \begin{vmatrix} \vec{V}_1 \\ \vec{V}_2 \\ \vec{V}_3 \end{vmatrix}.\end{aligned}$$

Тогда систему нелинейных дифференциальных уравнений (2) приближенно можно записать как систему линейных дифференциальных уравнений в пространстве фазовых моментов первого и третьего порядка:

$$[\vec{Z}^i(s)]' = P^{ij}[k(s)]\vec{Z}^j(s); [\vec{V}^i(s)]' = P^{ij}[-k(s)]\vec{V}^j(s), \quad (3)$$

где матрица  $P^{ij}$  имеет блочный верхнедиагональный вид.

Для уравнений (2) элементы матрицы  $P^{ij}$  есть

$$\begin{aligned}P^{11} &= \begin{vmatrix} 0 & I \\ -k & 0 \end{vmatrix}, & P^{12} &= \begin{vmatrix} 0 & 0 & 0 & 0 \\ k' & 0 & -3k & 0 \\ 1/2 & & & \end{vmatrix}, \\ P^{13} &= \begin{vmatrix} 0 & 0 & 0 & 0 & 0 \\ k' & -k & 0 & k & 0 \\ 1/4 & -k/2 & & & \end{vmatrix}, & P^{22} &= \begin{vmatrix} 0 & 3 & 0 & 0 \\ -k & 0 & 2 & 0 \\ 0 & -2k & 0 & I \\ 0 & 0 & -3k & 0 \end{vmatrix}, \\ P^{23} &= \begin{vmatrix} 0 & 2 & 0 & I & 0 & 0 \\ k & 0 & I & 0 & I & 0 \\ 0 & 2k & 0 & 0 & 0 & I \\ -k & 0 & 0 & 0 & 2 & 0 \\ 0 & -k & 0 & k & 0 & I \\ 0 & 0 & -k & 0 & 2k & 0 \end{vmatrix}.\end{aligned}$$

Чтобы получить элементы матрицы  $P^{ij}[-k(s)]$ , нужно изменить на противоположный знак перед  $k, k'$  и  $k''$  в выражениях для  $P^{ij}[k(s)]$ .

Введем матрицанты уравнений (3) в двух плоскостях:

$$\vec{Z}^i(s) = H^{ij}(s/s_0)\vec{Z}^j(s_0); \vec{V}^i(s) = V^{ij}(s/s_0)\vec{V}^j(s_0),$$

где векторы  $\vec{Z}^j(s_0)$  и  $\vec{V}^j(s_0)$  – векторы начальных условий.

Матрицанты  $H^{11}$  и  $V^{11}$  линейных уравнений (4) есть

$$\vec{Z}^1(s) = H^{11}(s/s_0)\vec{Z}^1(s_0); \vec{V}^1(s) = V^{11}(s/s_0)\vec{V}^1(s_0), \quad (4)$$

$$H^{11}(s/s_0) = \begin{vmatrix} \cos \varphi & \frac{1}{\sqrt{k}} \sin \varphi \\ -\sqrt{k} \sin \varphi & \cos \varphi \end{vmatrix}; \quad V^{11}(s/s_0) = \begin{vmatrix} \cosh \varphi & \frac{1}{\sqrt{k}} \sinh \varphi \\ \sqrt{k} \sinh \varphi & \cosh \varphi \end{vmatrix},$$

где  $\varphi = \sqrt{k}(s - s_0)$ .

Остальные элементы матрицанта  $H^{ij}(s/s_0)$  выражаются через элементы матриц  $H^{11}$  по формулам:

– для диагональных блоков

$$(H^{ij})_{ke} = \sum_{\ell=1}^j (H^{11})_{k_1 \ell_1} \dots \dots \dots (H^{11})_{k_j \ell_{j+1-j-1}}$$

в случае, если среди компонент мультииндекса  $e$  есть различные, и

$$(H^{ij})_{ke} = (H^{11})_{k_1 e_1} \dots \dots \dots (H^{11})_{k_n e_i},$$

если все компоненты мультииндекса  $e$  равны друг другу,

– для недиагональных блоков

$$H^{ij}(s/s_0) = \sum_{\ell=i+1}^j \int_{s_0}^s H^{11}(s/\tau) P^{ie}(\tau) H^{e\ell}(s/s_0) d\tau.$$

По этим же формулам определяются и элементы матрицанта  $V^{ij}(s/s_0)$ . Явный вид матрицантов  $H^{ij}(s/s_0)$  и  $V^{ij}(s/s_0)$  дан в работе /3/, где описана и программа QUADRUPOL расчета динамики частиц в квадрупольной линзе с учетом aberrации третьего порядка.

Расчет велся по измеренной карте поля для линзы с градиентом  $\sim 200$  Э/см, а градиент  $k$  определялся с помощью восьмиточечной лагранжевой интерполяции, в каждом сечении вдоль линзы, в точках  $x=0$ ,  $y=0$ . Далее по полученным значениям градиента четырехточечной интерполяции вычислялись градиент  $k=k(s)$ , а также первая и вторая его производная  $k'(s)$  и  $k''(s)$  для каждого шага вдоль линзы.

Начальные условия задавались генератором случайных чисел в

эллипсе с полуосами  $X_{max}=10$  мм и  $X'=\frac{V_s}{\sqrt{s}}=1000/(\pi X_{max})$ . Аналогичным образом задавались и начальные условия в фазовой плоскости  $(y, y' = \frac{V_y}{\sqrt{s}})$ .

На рис.1 и 2 показаны фазовые портреты пучка в плоскости  $(x, x')$  в середине и в конце линзы соответственно с учетом aberrации третьего порядка.

Из сравнения рисунка 3, где показано фазовое распределение пучка в той же плоскости без учета aberrаций, с рисунком 2 видно, что влияние aberrаций выражается в увеличении фазовой координаты  $x' = \frac{V_s}{\sqrt{s}}$  больше чем на 10% при сохранении симметрии распределения фазовой плотности и положения центра тяжести пучка.

Для фазовой плоскости  $(y, y' = V_y/V_s)$ , рис.4 и 5, хорошо видно характерное прогибание фазовой области, занимаемой пучком в результате aberrации третьего порядка. Кроме того, из сравнения рис.5 с рис.6, где показан фазовый портрет пучка в конце линзы без учета aberrаций, видно, что это влияние выражается в уменьшении фазовой координаты  $y'$  на 37 % и увеличении  $y$  на 3,5 %, что существенно при траектории пучка через длинные ионопроводы с большим количеством фокусирующих элементов.

Для оценки времени и точности расчета были проведены сравнительные расчеты с использованием программы QUADRUPOL и программы численного решения дифференциальных уравнений предикторно-корректорным методом MPCG /4/.

На рис.7 показана траектория ( $x$  - координата) заряженной частицы с зарядом  $Z=4$ , массовое число  $A=40$  и энергия  $E=0,1$  МэВ вдоль линзы, полученной расчетным путем с помощью программы QUADRUPOL и MPCG . При этом обе программы работали с одной системой дифференциальных уравнений, а градиент  $k=k(s)$  и его производные по направлению движения определялись идентичным способом, описанным выше. Относи-

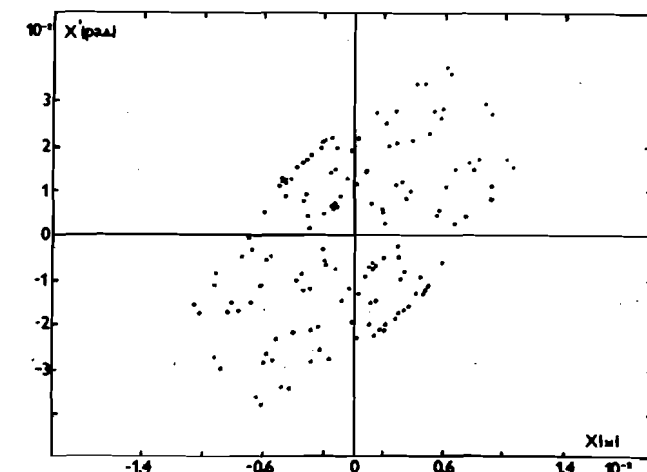


Рис.1. Фазовый портрет пучка в плоскости  $X, X'$  посередине линзы с учетом aberrации третьего порядка.

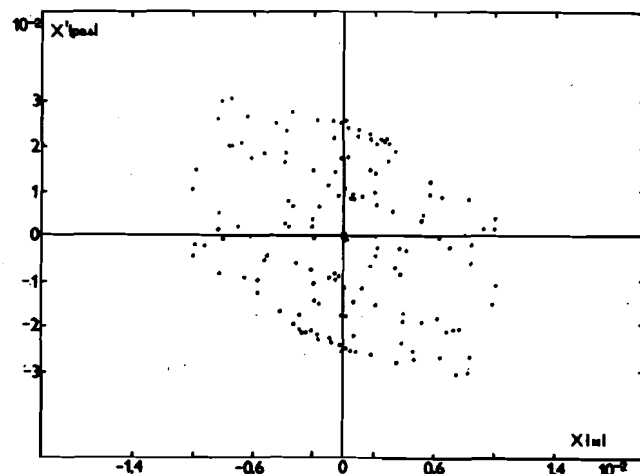


Рис.2. Фазовый портрет пучка в плоскости  $X, X'$  на конце линзы с учетом aberrации третьего порядка.

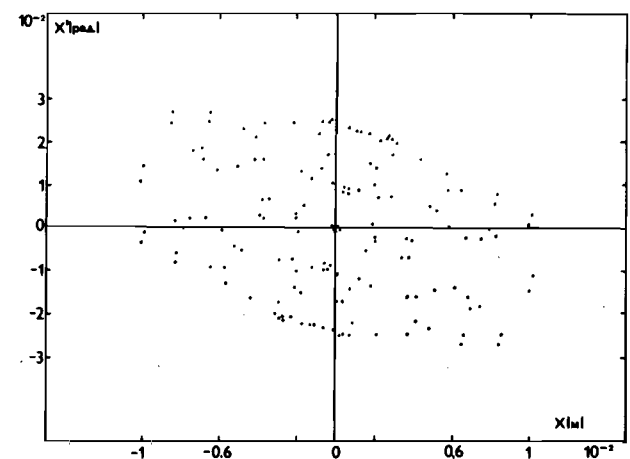


Рис.3.Фазовый портрет пучка в плоскости  $X,X'$  на конце линзы без учета аберрации.

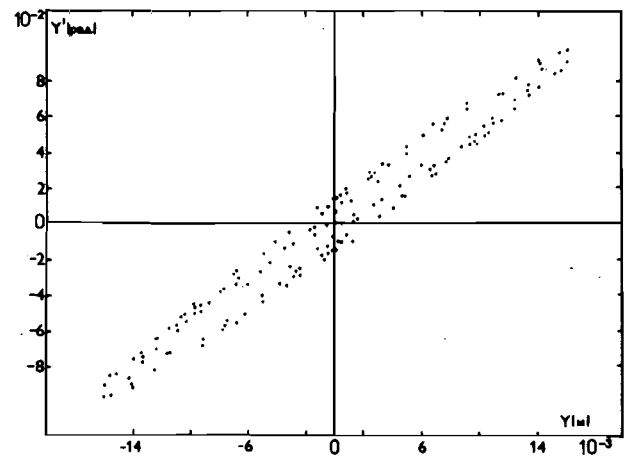


Рис.4.Фазовый портрет пучка в плоскости  $Y,Y'$  посредине линзы с учетом аберраций третьего порядка.

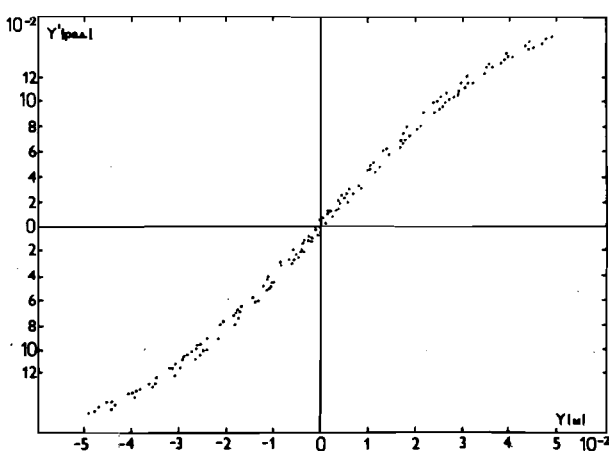


Рис.5.Фазовый портрет пучка в плоскости  $Y,Y'$  на конце линзы с учетом аберрации третьего порядка.

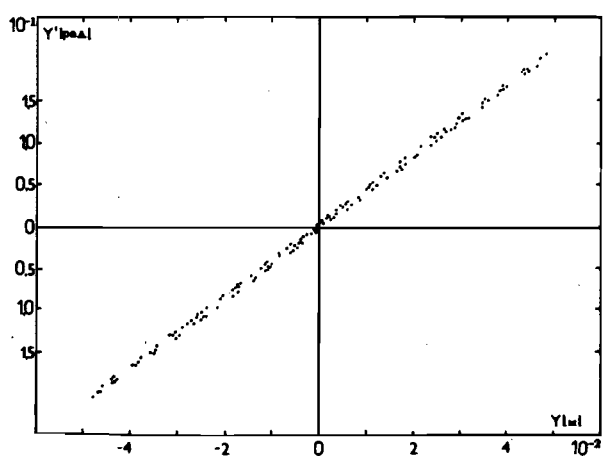


Рис.6.Фазовый портрет пучка в плоскости  $Y,Y'$  на конце линзы без учета аберраций.

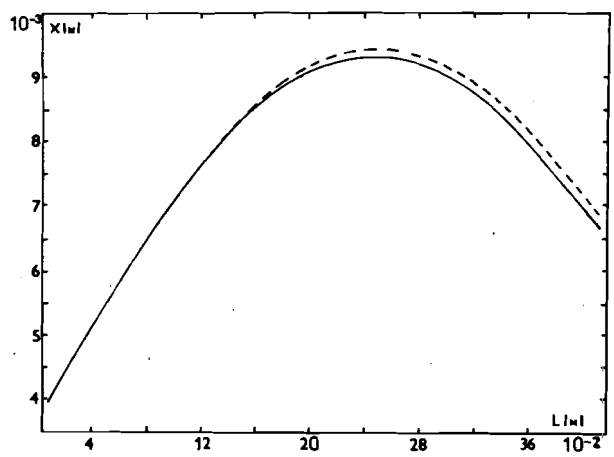


Рис.7.Х - координата частицы по длине линзы:  
 - - - расчет по программе *HPCG*,  
 — — расчет по программе *QUADRUPOL*.

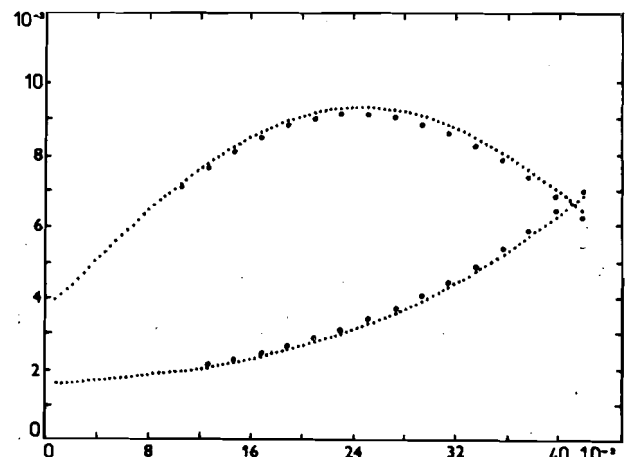


Рис.8.Х - и У-координаты частицы по длине линзы:  
 ... - расчет по программе *QUADRUPOL*,      число шагов =100,  
 ••• - расчет по программе *QUADRUPOL*,      число шагов =20.

тельная ошибка  $\xi$  в программе *HPCG* была задана:  $\xi = 10^{-5}$ , а время счета обеих программ было примерно одинаково и составляло  $35 \div 40$  с для расчета траектории одной частицы.

Из рис.7 видна разница в ходе траектории частицы, рассчитанной по программе *HPCG* и *QUADRUPOL*. Для локализации ошибки, следствием чего является эта разница в траектории, было сделано следующее.

С помощью программы *QUADRUPOL* была рассчитана траектория частицы для линейных уравнений (4) при заданных начальных условиях  $(x_0, x'_0)$  и  $(y_0, y'_0)$ . Так как точное решение этой системы линейных уравнений известно, то мы получаем траекторию частицы без ошибки, вызванной приближенностью метода. Та же система уравнений решается численным методом с одинаковыми начальными условиями и идентичным определением градиента по карте поля с помощью программы *HPCG*. Сравнение полученных траекторий показывает, что 90 % разницы между траекториями на рис.7 вызвана ошибкой численного метода. Для уменьшения этой ошибки приходится уменьшать задаваемую относительную ошибку предикторно-коррекционного метода, что в свою очередь увеличивает количество шагов по длине линзы, а это приводит к значительному нарастанию времени счета. В то же время уменьшение количества шагов в 5 раз (со 100 до 20) в программе *QUADRUPOL* приводит, как видно из рис.8.Х, ошибке значительно меньшей, чем при численном интегрировании уравнений движений с помощью программы *HPCG*, а это в свою очередь уменьшает время счета программы *QUADRUPOL* в 4,5 раза.

Все расчеты велись на персональном компьютере "Правец - 16" с сопроцессором, и все приведенные выше времена счета относятся к этому компьютеру.

В заключение авторы хотят выразить благодарность В.Н.Мельнику-ву и С.И.Козлову за предоставление данных магнитных измерений.

ЛИТЕРАТУРА

1.Дымников А.Д.- сб. Программирование и методы решения физических задач. ОИИИ, Дубна, 1978, с.300.

2.Андреанов С.Н.,Дымников А.Д.Осетинский Г.М.- Б1-9-12851, ОИИИ, Дубна, 1979.

3.Иванов Э.Л.,Перельштейн Э.А. Б1,9-88-271,ОИИИ,Дубна,1988.

4.Ralston,Runge Kutta Methods with Minimum Error Bounds,MITAG,Vol. 16,ISS.80,1962,P.431-437.

НЕТ ЛИ ПРОБЕЛОВ В ВАШЕЙ БИБЛИОТЕКЕ?

Вы можете получить по почте перечисленные ниже книги, если они не были заказаны ранее.

Д13-84-63	Труды XI Международного симпозиума по ядерной электронике. Братислава, Чехословакия, 1983.	4 р. 50 к.
Д2-84-366	Труды 7 Международного совещания по проблемам квантовой теории поля. Алушта, 1984.	4 р. 30 к.
Д1,2-84-599	Труды VII Международного семинара по проблемам физики высоких энергий. Дубна, 1984.	5 р. 50 к.
Д17-84-850	Труды III Международного симпозиума по избранным проблемам статистической механики. Дубна, 1984. (2 тома)	7 р. 75 к.
Д11-85-791	Труды Международного совещания по аналитическим вычислениям на ЭВМ и их применению в теоретической физике. Дубна, 1985.	4 р. 00 к.
Д13-85-793	Труды XII Международного симпозиума по ядерной электронике. Дубна, 1985.	4 р. 80 к.
Д4-85-851	Труды Международной школы по структуре ядра. Алушта, 1985.	3 р. 75 к.
Д3,4,17-86-747	Труды V Международной школы по нейтронной физике Алушта, 1986.	4 р. 50 к.
—	Труды IX Всесоюзного совещания по ускорителям заряженных частиц. Дубна, 1984. (2 тома)	13 р. 50 к.
Д1,2-86-668	Труды VIII Международного семинара по проблемам физики высоких энергий. Дубна, 1986. (2 тома)	7 р. 35 к.
Д9-87-105	Труды X Всесоюзного совещания по ускорителям заряженных частиц. Дубна, 1986. (2 тома)	13 р. 45 к.
Д7-87-68	Труды Международной школы-семинара по физике тяжелых ионов. Дубна, 1986.	7 р. 10 к.
Д2-87-123	Труды Совещания "Ренормгруппа - 86". Дубна, 1986.	4 р. 45 к.
Д4-87-692	Труды Международного совещания по теории малочастичных и кварк-адронных систем. Дубна, 1987.	4 р. 30 к.
Д2-87-798	Труды VIII Международного совещания по проблемам квантовой теории поля. Алушта, 1987.	3 р. 55 к.
Д14-87-799	Труды Международного симпозиума по проблемам взаимодействия мюонов и пионов с веществом. Дубна, 1987	4 р. 20 к.

Рукопись поступила в издательский отдел  
27 апреля 1988 года.